

수식된 N,N'-bis(2-pyrrol-1-yl-propyl)-4,4'-bipyridine 고분자 피막전극의 산화-환원 특성

車 星 極

경남대학교 정민화학공학부
(2001. 5. 8 접수)

Redox Properties of Modified Poly-N,N'-bis(2-pyrrol-1-yl-propyl)-4,4'- Bipyridine Film Electrode

Seong-Keuck Cha

Division of Chemistry and Chemical Engineering, Kyungnam University, Masan 631-701, Korea

(Received May 8, 2001)

요 약. 단량체인 N,N'-bis(2-pyrrol-1-yl-propyl)-4,4'-bipyridine(bpb)을 유리탄소전극 상에 전기화학적으로 중합한 고분자 피막전극을 erichrome black T(EBT)와 glutathione(GSSG)의 1:1용액으로 수식하여 GC/poly-bpb, EBT, GSSG형의 전극을 제작하고 이로써 Zn(II)을 포집한 전극을 제작하였다. 수식된 피막 내에서 이온의 확산계수는 아연이온이 포집되기 전후에 각각 2.43×10^{-15} 과 $9.14 \times 10^{-15} \text{ cm}^2 \text{ s}^{-1}$ 으로 피막내의 전기화학적 활성자리에서 이탈이 거의 일어나지 않는 안정적인 전극이다. 중합된 bpb의 양이 $2.83 \times 10^{-1} \text{ gmol}^{-1}$ 에 대하여 $1.17 \times 10^1 \text{ gmol}^{-1}$ 의 아연이온이 포집되었다. 이들 중에 산화-환원 과정에서 회합 해리에 관여하는 이온은 포집된 180개의 이온들 중에서 81.7%였다. 이는 EBT만으로 수식된 전극에서 보다 3배정도 큰 값이다.

ABSTRACT. The monomer N,N'-bis(2-pyrrol-1-yl-propyl)-4,4'-bipyridine(bpb) was electrochemically polymerized on the glassy carbon electrode surface, which was modified with 1:1 ratio of erichrome black T(EBT) and glutathione(GSSG) to give a type of GC/poly-bpb, EBT, GSSG electrode for depositing Zn(II). The diffusion coefficients of the incorporated ions were $2.43 \cdot 10^{-15}$ and $9.14 \cdot 10^{-15} \text{ cm}^2 \text{ s}^{-1}$ before taking Zn(II) ions and after them respectively. The modified electrodes are stable at the electrode process. The polymerized poly-bpb of $2.83 \cdot 10^1 \text{ gmol}^{-1}$ can deposit $2.15 \cdot 10^1 \text{ gmol}^{-1}$ of Zn(II). The number of pumping ions involving in the redox procedure at 0.77 V was 81.7% of the captured 180 ions into the polymer matrix, which was 3 times larger than that of the electrode modified with EBT alone.

서 론

전극 상에 고분자피막을 입힌 전극의 제작방법은 다양하다. 이들 중 전극표면에 직접 전기화학적 방법으로 중합하여 피막을 입히는 방법이 중합량을 정확하게 조절할 수 있으며 균일한 피막을 제작할 수가 있는 장점을 갖고 있다. 이들중에 페놀,¹ 아닐린² 및 피롤³과 같이 단량체 용액을 산화시키는 양극산화과정에 의한 중합방법과 활성 올레핀과⁴ 같이 음극환원과정에 의한 방

법들이 있다. Redox쌍을 포함하는 고분자 물질로는 금속이온과 착체를 이룬 ferrocene이나⁵ [Ru(v-bpy)₃]²⁺과⁶ 같은 종이 있으며 이들은 환원과정에 의하여 중합된다. 금속이온을 포함하지 않으면서 redox쌍을 포함하는 고분자물질로는 quinone,⁷ dopamine,⁸ azobenzene,⁹ thionine,¹⁰ viologen¹¹ 등과 같은 일련의 유기물질들이 있다. 이들은 전극 상에 피막물질로 사용이 되었다. 이들 중에서 대부분은 이미 중합된 고분자의 형태로 전극상에 코팅하여 사용되어 왔다. 그러나 특히 viologen이나 thionine

은 전기화학적 개시로 전극표면에 직접 중합하여 전극상에 피막층을 만드는 것이 가능하다. 즉, viologen은 N,N'위치에 styrene과¹² 같은 중합이 가능한기를 결합시켜 이를 이용하여 중합을 하는 것이 가능하다. 반면에 피롤은 직접 전극위에 전기화학적인 중합이 가능하며 뛰어난 유기전도성 고분자이다.

이 viologen은 전기-분광화학적으로 활성이 큰 전자받개의 역할을 한다. 이는 Abruna와 Bard¹³에 의하여 고분자피막 전극제작에 이용되었다. viologen자리는 불과 아세트니트릴용액에서 거의 같은 전위인 -0.45 V와 -0.69 V(vs. SCE)에서 두 단계의 단일전자과정으로 환원이 된다.¹⁴ 질소 기류 하에서 첫째 파에 대한 전기화학적 응답은 상당히 안정하다. 그러나 두 번째 파는 그렇지 못하다. 또한 viologen고분자로 된 착체의 광학스펙트럼이 용액 내에서도 거의 변화가 없는 장점을 갖고 있다. 이 viologen의 양이온 자리에서는 전하의 중화가 일어난다. 즉, ferricyanide와 같이 음이온으로부터 고립되지 않으며 아주 작지만 permeation current가 흐른다.¹⁵ 따라서 환원형의 viologen(V^{•+})은 ferricyanide의 환원을 돕는다. viologen의 N자리에 styrene이 결합한 종을 Pt나 탄소위에 피막으로 하였을 때 chronoamperometry로 측정된 전하수송속도는 아주 느리다.¹⁶ 이를 개선하기 위하여 Burgmayer¹² viologen 고분자 피막에 작은 탄소입자를 고분자의 무게에 대하여 2:1의 비율로 incorporating시켜서 그 값을 1000배나 증가시킬 수가 있었다. 이와 같이 고분자 피막 내에서 빠른 전자전달은 전기촉매나 광 전기화학에서 아주 중요하다.

아연은 생리적으로 아주 중요한 금속이다. 특히 혈장 내에 비타민 A의 농도를 정상화시키며, 인슐린과 복합체를 형성하여 췌장의 β 세포에서 분비되며, 백혈구 내에 아연농도가 저하하면 superoxide dismutase의 활성이 저하하여 면역기능이 감소한다. 따라서 성인의 경우 하루 필요량이 15 mg이나 된다. 또, 이 금속농도가 과다하면 혈장 내에 cholesterol농도의 저하를 유발시키게 된다.¹⁷

본 연구에서는 viologen을 포함하는 N,N'-bis(2-pyrrol-1-yl-propyl)-4,4'-bipyridine(bpb)을 단량체로 하였다. 이것은 전기 전도성이 크고 전기화학적으로 중합이 용이한 피롤기를 포함하고 있다.¹⁸ 이를 전기화학적으로 유리탄소 전극에 중합하여 산화-환원 고분자 피막전극을 제작하였다. 이 전극을 아연과 착물 생성의 안정도상수(pK_{20})가 20인 erichrome black T와 아연에 특별한 선택성을 갖는 glutathione (GSSG; $pK_{a1}=7.2$)¹⁹으로 수식하고, 이를 이용하여 Zn(II)의 포집 과정을 CV법과 EQCM법으로 연구하였다.

실 험

기기 및 시약. 전기화학적 실험은 EG & G 273A potentiostat/galvanostat에 270 250 소프트웨어를 설치하여 행하였다. 순환전압전류법(cyclic voltammetry: CV)은 100 mVs⁻¹의 주사속도로 염화은 기준전극(Ag/AgCl/Cl⁻)전위에 대하여 측정하였다. EQCM실험도 같은 조건에서 행하였다. 유리탄소(glassy carbon: G.C.)전극은 지름이 1.01 mm인 흑연 막대를 가온된 테프론 튜브에 삽입한 후 냉각하고 이를 사포와 다이아몬드 죽(Struers, Denmark: 1 μ m)으로 연마하여 표면이 기울 띠와 같도록 한 후 초음파 세척한 다음 1분 수산화나트륨 용액에서 1.20 V로 5분간 전해하고 인산염 완충용액(pH=7.07)에서 -0.2~1.20 V의 전압범위에서 5분간 표면처리한 후에 고분자 피막전극의 제작에 사용하였다. 제사용 시에는 다이아몬드 죽으로 연마한 후 아세톤과 물로 그리고 초음파 세척을 행한다. EQCM실험에서는 표면적이 0.3 cm²인 Pt전극을 사용하였으며, 사용하기 직전에 1.0 M 황산수용액에서 Pt의 특성 파가 얻어질 때까지 전기화학적으로 깨끗이 하였다. X-Y기록기는 Philips (model 8043)제품을 사용하였다.

중류수는 1차 증류한 것을 Millipore Milli Q시스템으로 정제한 고순도 증류수를 사용하였다. 아세트니트릴(BDH, Hiper solv., England)은 4A 분자체로 수분만 제거한 후 더 이상의 정제 없이 사용하였으며, tetra-n-butyl ammonium perchlorate(TBAP, Fluka)는 에틸아세테이트로 3회 정제한 후 75 °C에서 48시간 동안 감압 건조시켜 사용하였다. erichrome black T(Fluka, C₂₀H₁₂N₂NaO₅)는 에탄올 불로 3회 재결정한 후 사용하였다. glutathione (oxidized form: Aldrich)을 나트륨염으로 한 후 두 번 정제하였다. 모든 측정은 25 °C에서 행하였다. bpb의 함성은 Dalton과 Murray²⁰의 방법에 따라다.

고분자 피막전극의 제작과 측정. bpb의 전기화학적 중합은 질소분위기에서 G.C.(Pt, Au), 1.0 mM bpb, 0.1 M TBAP, CH₃CN:Pt 형의 전지로 0~1.3 V의 전압범위에서 5~10회 정도 순환전압전류법으로 p-bpb를 전기화학적으로 중합한 후 이를 아세톤과 불로 세척하였다. 순환횟수로 피막의 두께를 조절할 수가 있다. 이는 G.C/

p-bpb형의 피막전극이다. 이 전극의 전기화학적 특성을 G.C. p-bpb, phosphate buffer(pH=7.07):Pt형의 전지보 0.0~1.10 V의 전압범위에서 100 mVs⁻¹의 주사속도로 20회 정도 연속적인 CV를 행하여 일정한 파형을 나타낼 때까지 행하여 안정한 고분자 피막을 만든다. 순환 압전류법으로 입혀진 피막의 양을 결정한다. 이 전극을 1 mM glutathione과 EBT를 1:1로 한 수용액에서 1시간 동안 설치하여 수식된 G.C/p-bpb, EBT, GSSG형의 피막전극을 제작한다. 이 전극을 특정 농도의 아연이온 용액에 40~60분간 설치하여 사전농축(preconcentration)시킨 후 불로 세척한다. 그러면 G.C/p-bpb, EBT, GSSG, Zn²⁺형의 피막전극이 된다. 이 전극을 phosphate buffer (pH=7.07)용액에서 CV나 EQCM법으로 특성을 연구하였다.

결과 및 고찰

PMI전극의 redox특성, Fig. 1A는 GC/EBT(1 mM), GSSG(1 mM), phosphate buffer/Pt에서 CV결과이다. -0.66 V에서 리간드 분자들의 특성파가 관찰되었다. 유리탄소 전극 표면에 증합된 p-bpb피막전극, 즉 G.C./p-bpb형의 고분자 피막전극이 인산염 완충용액(pH=7.07)에서 CV결과가 Fig. 1B이다. 여기서 0.5 V~1.2 V의 주사한 전압범위에서 viologen의 두 N자리 중에 첫째 것, 즉 기질표면에서 가까운 것이 갖는 산화과정의 특성파가 -0.42 V에 그리고 둘째 것이 -0.85 V에 나타나고 각각에 대응되는 환원파가 -0.52 V와 -0.94 V에 해당한다. -0.35 V에서 관찰되는 약한 환원파는 고분자 가닥중에 분포된 viologen들중의 일부가 이합체화(dimerization)를 이루기 때문에 나타나는 현상으로 보인다.²¹ Wu 등은²² 산소파로 보고있으나 본 실험은 아르곤 기류 하에서 행하였으며 여러 회 CV를 행하면 이 파가 감소하였다가 5분 정도 Ar분위기로 용액내에서 방치한 후 CV를 다시 행하면 이 파가 관찰된다. 따라서 용존하는 산소의 영향으로는 볼 수가 없다. 이는 CV과정동안에는 고분자 가닥들이 전하의 변화로 교란이 일어나면서 파의 크기가 감소하게 되고 방치하면 이합체화의 과정이 다시 일어나게 되는 것으로 볼 수 있다. Fig. 1C는 p-bpb고분자 피막상에 분포된 양이온자리에 회합된 PF₆⁻이온을 EBT와 GSSG로 이온교환에 의하여 제작한 GC p-bpb, EBT, GSSG형의 전극에 대한 CV의 결과이다. -0.68 V에서 강한 환원파는 회합된 EBT

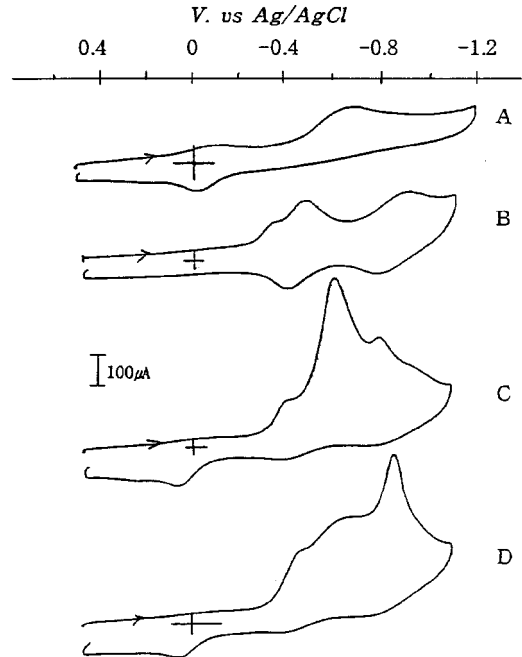


Fig. 1. Cyclic voltammograms of GC/EBT(1 mM), GSSG(1 mM) (A), GC poly-bpb(B), GC/poly-bpb, EBT, GSSG(C) and GC/poly-bpb, EBT, GSSG, Zn²⁺(D) electrode in phosphate buffer (pH=7.07). (scan rate: 0.1 V/s, electrode area: 7.5 × 10⁻² cm²).

와 GSSG이온에 의한 것이다. 이 과정에서 회합되어 있던 리간드 이온들이 환원되면서 피막 상에서 떨어져 나감으로 인하여 산화과정에서 EBT에 대한 파는 관찰되지 않고 0.06 V에서 glutathione에 의한 파만 관찰되고 있다. viologen에 의한 파들의 ΔE_p값이 각각 100 mV와 93 mV이며 리간드로 수식되었을 때 10 mV와 18 mV로 감소하였다. 이 전극을 1 mM Zn(II)수용액으로 사전농축시켜 제작한 GC p-bpb, EBT, GSSG, Zn(II)형의 전극에 대한 CV의 결과가 Fig. 1D이다. -0.66 V와 -0.92 V에서 강한 환원파가 나타났다. 전자는 리간드 이온들에 의한 것이고 후자가 아연이온에 의한 것이다. 아연이온의 표준환원전위가 -0.76 V(vs. SHE)인 값과 비교하면 이는 상당히 큰 값이다. 거대 리간드 이온들과 착물을 형성하고 있기 때문에 전극과정이 용액내의 자유이온보다는 어렵기 때문으로 본다. 또, 이 영역에서는 viologen에 의한 특성파와 겹쳐있다. 따라서 환원과정으로 아연이온의 CV거동을 관찰하는 데는 한계 있음을 알 수 있다.

Fig. 2A는 GC/p-bpb형의 전극을 인산염 완충용액에서 본 CV결과이다. 0~1.20 V의 스캔범위에서 특정파가

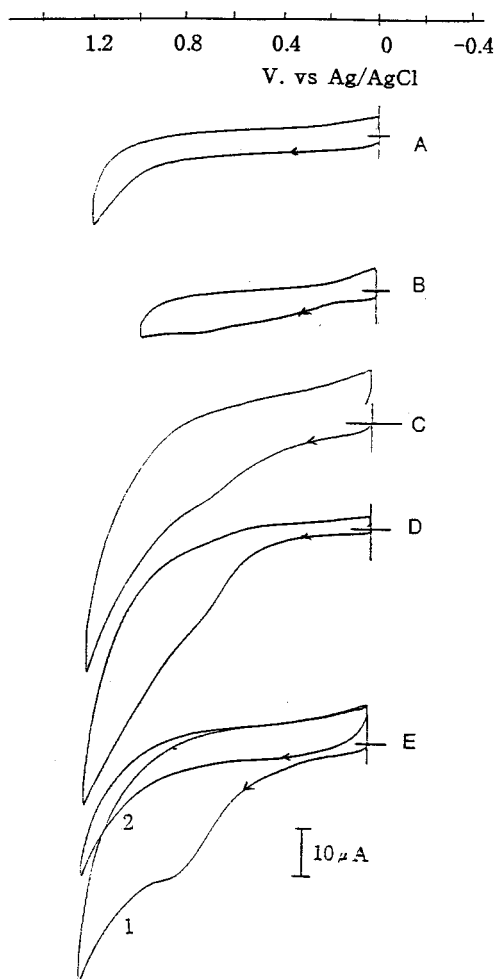


Fig. 2. Cyclic voltammograms of GC/poly-bpb(A), GC/poly-bpb, EBT, GSSG(B), GC/poly-bpb, EBT, Zn²⁺(C), GC/poly-bpb, GSSG, Zn²⁺(D) and GC/poly-bpb, EBT, GSSG, Zn²⁺(E) electrode in phosphate buffer (pH=7.07). (scan rate: 0.1 V/s, electrode area: 7.5 × 10⁻² cm²).

나타나지 않는다. Fig. 2B는 GC p-bpb, ligand형의 전극에 대한 결과로 0.42 V와 0.78 V부근의 약한 산화파는 EBT와 glutathione에 의한 것이다. Fig. 2C는 GC p-bpb, EBT, Zn(II)형의 전극에 대한 결과로 0.69 V에서 아연이온과 EBT와의 상호작용에 의하여 영향을 받은 리간드에 해당하는 파가 약하게 관찰됐다. Fig. 2D는 GC/p-bpb, GSSG, Zn(II)형의 전극에 대한 결과로 같은 전압에서 산화파가 나타났다. 이와 같이 약한 CV 결과로는 아연이온의 검출에 한계가 있다. 따라서 EBT

와 glutathione을 동시에 리간드로 사용함으로써 이러한 단점을 상당히 해소시켰다. 그 결과가 Fig. 2E이다. 산화파가 앞의 경우보다는 상당히 강하게 0.77 V에서 관찰되었다. 첫 번째 CV에서 파가 두 번째 과정에서는 관찰되지 않았다. 특히 Fig. 2B에서 약하게 나타난 리간드 이온들에 의한 파들도 나타나지 않는 것으로 보아서 이 산화과정에서 아연이온과 리간드가 함께 떨어져 나오는 것으로 볼 수 있다. 즉, 스위칭전압(switching potential)을 1.20 V까지 높이면 산화과정에서 ligand와 Zn(II)이온 모두가 전극표면에서 이탈하게 된다. 따라서 Fig. 2E의 두 번째 CV에서 해당하는 파들이 나타나지 않게 된다.

대시간전류법(chronoamperometry). 피막 내에서 확산전류의 크기를 보기 위한 결과가 Fig. 3이다. 이를 Cottrell식²⁴

$$i = nFAc(D/\pi t)^{1/2} \quad (1)$$

에 따라서 고분자 피막내에서 확산계수를 결정하였다. 여기서 i , n , F , A , D , C 및 t 는 각각 전류, 반응에 관여한 전자수, 파라데이정수, 전극면적, 확산계수, 전해질농도 그리고 전이시간이다. EBT가 회합된 Pt poly-bpb, EBT, GSSG형의 전극에서 산화과정에 대한 대시간전류법(Fig. 3A)에서 개시전압, 1단계 및 2단계 전압은 각각 0.60, 0.80 및 0.65 V이다. 이 결과로부터 계산한 확산계수는 2.43×10^{-10} cm²s⁻¹이고, Pt poly-bpb, EBT, GSSG형의 전극으로 Zn²⁺을 사전농축시킨 Pt/poly-bpb, EBT, GSSG, Zn²⁺형 전극(Fig. 3B)에서

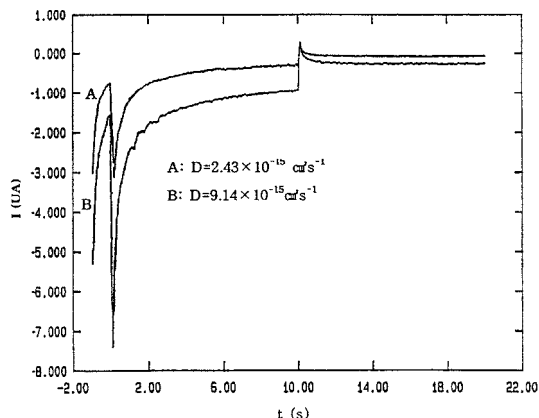


Fig. 3. Chronoamperograms of GC poly-bpb, EBT, GSSG (A) and GC poly-bpb, EBT, GSSG, Zn²⁺(B) electrode in phosphate buffer (pH=7.07).

각 단계에 해당하는 전압은 앞의 경우와 같으며 확산 계수는 $9.14 \times 10^{-5} \text{cm}^2 \text{s}^{-1}$ 이었다. 고분자 피막 내에서 확산계수가 용액내 이온의 값과 비교하면 106-109배 정도 작은 값이다. 따라서 고분자 피막내에 좁은 공간 내에 리간드 이온이나 Zn^{2+} 가 강하게 회합된 상태로 잡혀 있음을 알 수 있다. 따라서 이 수식된 전극은 안정하며 금속이온의 포집에 유용함을 알 수 있다. 두 전극에서 EBT²⁺과 Zn^{2+} 에 대한 값들을 비교하면 후자가 3.8배 정도 큰 값이다. 이 결과는 크기가 상대적으로 작은 Zn^{2+} 이온의 확산이 다소 유리하기 때문에 나타나는 결과이다.

Quartz Crystal Microbalance. GC를 재료로 한 QCA전극이 없으므로 Pt전극을 사용하였으며, bpb의 중합조건은 단량체 농도를 2.0 mM 농도로 하고 전해질용액은 0.1 M TBAP:CH₃CN이었으며, 0-1.30 V(vs Ag/AgCl)의 전압범위에서 3회 CV를 행한 결과이다. 중합

하기 전후에 진동수의 차이 101 Hz였다. 주파수의 측정에서 오차범위는 $\pm 1 \text{ Hz}$ 이며 상대표준편차는 8%였다.

$$\Delta m - \Delta t \times 9.107 \times 10^{-8} \text{ gHz}^{-1} \text{ cm}^2 \quad (2)$$

따라서 식 (2)²⁴으로부터 중합된 p-bpb의 양은 $9.20 \times 10^{-6} \text{ g cm}^{-2}$ 이다. 이 양은 CV의 횟수로 조절할 수가 있다. 여기서는 Fig. 1A의 첫째 산화파의 면적으로부터 계산된 피복율(Γ)이 $3.25 \times 10^{-10} \text{ mol cm}^{-2}$ 이다. 이를 고려하면 중합된 고분자 피막의 양은 $2.83 \times 10^{-4} \text{ g mol}^{-1}$ 이 된다. 피막을 너무 두껍게 입히면 낮은 피막자체의 전도성으로 인하여 CV특성이 나빠지고 너무 얇으면 전기화학적 활성자리의 부족으로 금속이온의 포집능이 감소하는 단점이 나타난다. 따라서 피복율을 2-4의 범위에 있도록 조절하였다.⁶ 이 Pt-p-bpb형의 전극을 인산염 완충용액에서 본 EQCM의 결과가 Fig. 4A이다. 전압 변화에 따른 진동수의 변화는 0-0.37 V범위에서 가장

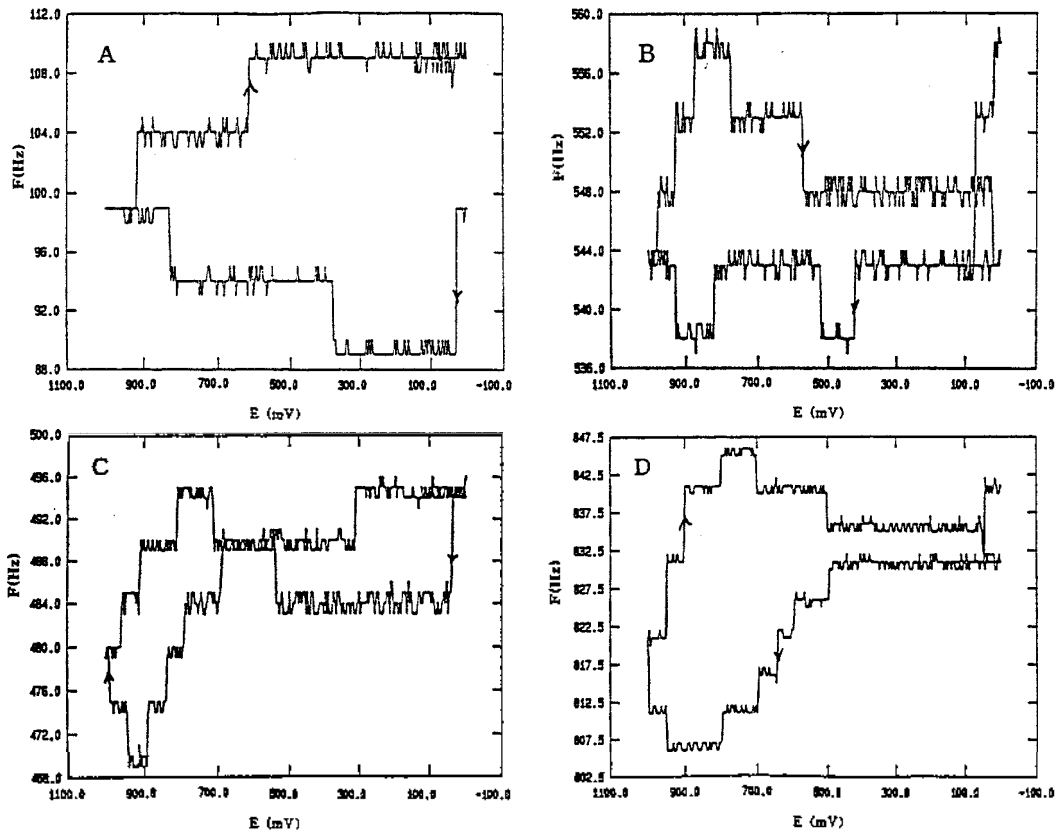


Fig. 4. The frequency changes vs. potential curve of GC poly-bpb(A), GC poly-bpb, EBT, GSSG(B), GC poly-bpb, EBT, Zn^{2+} (C) and GC/poly-bpb, EBT, GSSG, Zn^{2+} (D) electrode in phosphate buffer(pH=7.07).

Table 1. Frequency change for the electrode types and number of ions involved in redox procedure at 0.77 V

Electrode type	$\Delta F(\text{Hz})$	Number of pumping ions at one CV
Pt/p-bpb	10.5	32 ions of PO_4^{3-}
Pt/p-bpb, EBT, GSSG	9.9	2.6 ions of EBT/GSSG
Pt/p-bpb, EBT, Zn^{2+}	11.9	7 ions of Zn^{2+} EBT
Pt/p-bpb, EBT, GSSG, Zn^{2+}	34.2	147 ions of Zn^{2+}

크고 아연 이온의 산화과정이 나타나는 0.7-0.8 V에서 진동수 차이는 10.05 Hz이다. 이는 이 영역에서 pumping 되는 대이온과 용매분자의 수에 관계된다. Fig. 4B는 리간드 이온들이 도핑된 Pt/p-bpb, EBT, GSSG형의 전극에 대한 결과이다. 산화과정에서, 0.5 V와 0.9 V 부근에 진동수의 감소를 볼 수 있다. 이들은 용매분자와 두종의 리간드 이온들이 viologen의 N⁺위치에서 pumping 때문에 일어나는 현상이다. 0.7-0.8 V 전압범위에서 9.9 Hz이다. Fig. 4C는 Pt/p-bpb, EBT, Zn^{2+} 형의 전극에 대한 결과로 아연이온과 리간드에 의한 진동수의 변화는 11.9 Hz이다. 그리고 Pt/p-bpb, EBT, GSSG, Zn^{2+} 형의 전극에 대한 결과를 Fig. 4D이며, 해당영역에 진동수 변화는 34.2 Hz이다. 이 결과들을 Table 1에 수록하였다. 수식된 전극으로 아연이온을 포집하였을 때 Pt/p-bpb, EBT, GSSG, Zn^{2+} 와 Pt/p-bpb, EBT, GSSG 전극에서 진동수의 차이는 41.8 Hz였다. 따라서 피막전극에 포획된 전체 이온은 $1.17 \times 10^4 \text{ gmol}^{-1}$ 이다. 이는 180개의 아연이온이 포획되었음을 나타내므로 산화-환원과정에서 pumping에 관여하는 이온은 포획된 전체중의 81.7%에 해당한다. 이는 Pt/p-bpb, EBT, Zn^{2+} 형의 전극에서 보다 3배정도 큰 값이다. 그러므로 이 전압범위 내에서 포획된 이온들 중에 고분자 피막 상에서 회합된 상태로 존재하는 18.3%는 리간드 이온들과 함께 피막의 기공 내에 갇혀 있음을 알 수 있다. Table 1에는 각 전극형태에서 redox과정에 관여하는 이온의 종과 수를 수록하였다. Pt/p-bpb, EBT, GSSG형의 전극에서 환원과정동안에 이탈하는 EBT/GSSG이온의 수가 2.6으로 작은 것은 이 전압영역에서 리간드 이온들이 안정하게 전극 상에 회합되어 있음을 의미한다.

결 론

단량체인 N,N'-bis(2-pyrimol-1-yl-propyl)-4,4'-bipyridine의 PF₆⁻염을 합성하고 이를 전기화학적으로 유리탄소 전극 표면에 전기량을 조절하여 3-4점정도 중합하였다. 이

전극을 eriochrome black T와 산화형 glutathione을 1:1로 한 용액으로 수식한 GC/poly-bpb, EBT, GSSG형의 전극을 제작하고 이로써 Zn(II)을 사진농축한 전극을 제작하였다. GC poly-bpb, EBT, GSSG형의 전극과 아연이온이 포집된 전극에서 이온의 확산계수는 각각 2.43×10^{-15} 과 $9.14 \times 10^{-15} \text{ cm}^2 \text{ s}^{-1}$ 으로 피막 내에서 이온의 확산이 거의 일어나지 않고 갇혀있는 안정한 전극이다. QCM을 사용하여 Pt전극 상에 $2.83 \times 10^4 \text{ gmol}^{-1}$ 의 poly-bpb를 중합하고 이를 리간드들로 수식한 후 Zn(II)이온을 포집하였을 때 그 양이 $1.17 \times 10^4 \text{ gmol}^{-1}$ 였다. 회합된 이온의 81.7%가 CV과정 중에서 회합해리에 관여한다. 이는 Pt/p-bpb, EBT, Zn^{2+} 형의 전극에서 보다 3배정도 큰 값이다. 또, Pt/p-bpb, EBT, GSSG형의 전극에서 산화과정동안에 이탈하는 EBT/GSSG이온의 수가 2.6으로 작은 안정한 전극이다.

이 연구는 1999년도 경남대학교 학술연구조성비 지원에 의하여 지원된 것임.

인 용 문 헌

1. Pham, M.-C.; Laczko, P.-C.; Dubois, J.-F. *J. Electroanal. Chem.* **1979**, *99*, 91.
2. Diaz, A. F.; Logan, J. A. *J. Electroanal. Chem.* **1980**, *111*, 111.
3. Kanazawa, K. K.; Diaz, A. F.; Geiss, R. H.; Gill, W. D.; Kwak, J. F.; Logan, J. A.; Rabolt, J. F.; Street, G. B. *J. Chem. Soc. Chem. Commun.* **1979**, 854.
4. Denisevich, P.; Abruna, H. D.; Leidner, C. R.; Meyer, T. J.; Murray, R. W. *Inorg. Chem.* **1982**, *21*, 2135.
5. Peerce, P. J.; Bard, A. J. *J. Electroanal. Chem.* **1980**, *114*, 6641.
6. Cha, S. K.; Abruna, H. D. *Anal. Chem.* **1990**, *2*, 274.
7. Degrand, C.; Miller, L. L. *J. Electroanal. Chem.* **1981**, *117*, 267.
8. Degrand, C.; Miller, L. L. *J. Am. Chem. Soc.* **1980**, *102*, 5728.
9. Degrand, C.; Laviron, E. *J. Electroanal. Chem.* **1981**,

- 117, 283.
10. Albery, W. J.; Eddowes, M. J.; Hall, K. J.; Hillman, A. R. *J. Electrochem. Soc.* **1980**, *127*, 654.
 11. Bookbinder, D. C.; Wrighton, M. S. *J. Am. Chem. Soc.* **1980**, *102*, 5123; Bruce, W. A.; Wrighton, M. S. *J. Am. Chem. Soc.* **1982**, *104*, 74.
 12. Burgmayer, P.; Murray, R. W. *J. Electroanal. Chem.* **1982**, *135*, 335.
 13. Abruna, H. D.; Bard, A. J. *J. Am. Chem. Soc.* **1981**, *103*, 6898.
 14. Bocasly, D. C.; Bruce, J. A.; Dominy, R. N.; Lewis, N. S.; Wrighton, M. S. *Proc. Natl. Acad. Sci. USA*, **1980**, *77*, 6280.
 15. Willman, K. W.; Murray, R. W. *J. Electroanal. Chem.* **1982**, *133*, 211.
 16. Ikeda, T.; Leidner, C. W.; Murray, R. W. *J. Am. Chem. Soc.* **1981**, *103*, 7422.
 17. Campbell, M. K. *Biochemistry*. Holt, Rinehart and Winston Inc.: Orlando, 1991.
 18. Cha, S. K. *J. Polymer Sci. part B* **1997**, *35*, 165; Skotheim, T. A. *Handbook of Conducting Polymer*. Marcel Dekker Inc.: 1986. vol. 1, chp. 3; Cha, S. K.; Chung, J. J.; Cha, C. K.; Abruna, H. D. *J. Mat. Sci.* **1993**, *28*, 6115.
 19. Li, N. C. *J. Am. Chem. Soc.* **1954**, *76*, 225.
 20. Dalton, E. F.; Murray, R. W. *J. Phys. Chem.* **1991**, *95*, 6383.
 21. Cosnier, S.; Inouat, C.; Jouanneau, Y. *Anal. Chem.* **1994**, *66*, 3198; Abruna, H. D.; Bard, A. J. *J. Am. Chem. Soc.* **1981**, *103*, 6898.
 22. Wu, Q.; Storrier, G. D.; Pariente, F.; Wang, Y.; Shapleigh, J. P.; Abruna, H. D. *Anal. Chem.*, **1997**, *69*, 4856.
 23. Sawyer, D. T.; Roberts, Jr. J. L. *Experimental Electrochemistry for Chemists*. John Wiley & Sons: 1974, chp. 4.
 24. Buttry, D. A.; Ward, M. D. *Chem. Rev.* **1992**, *92*, 1355.
-